

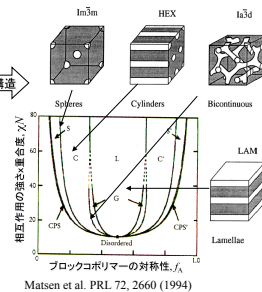
# ブロックコポリマー／超臨界流体から形成されるリオトロピック液晶の小角中性子散乱による研究

東京大学  
大学院新領域創成科学研究所  
物質系専攻  
横山英明

1

## 自己組織化するソフトマター ブロックコポリマー

- ◆ ブロックコポリマーとバルク構造
    - ◆ 複数のポリマーがブロック状に結合
  - ◆ 界面の局率を最適化→様々な構造
  - ◆ 組成比、相互作用パラメータと重合度Nの積で構造が変化
  - ◆ 分子の大きさ程度(数十nm)の規則構造
  - ◆ 味興深いモルフオロジー(組成分布)
    - ◆ メリット
      - ◆ ガラス転移→固体 ソフトマターとしては高強度(材料として利用可能)
    - ◆ デメリット
      - ◆ 構造を変える→組成比を変える→新たな分子を精密合成する必要あり
      - ◆ モルフオロジーは濃度分布

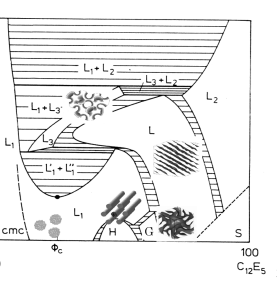
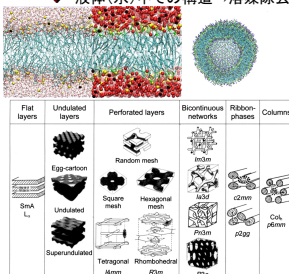


Matsen et al. PRL 72, 2660 (1994)

2

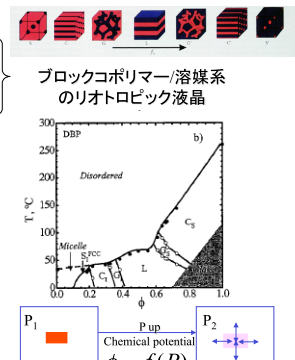
## 自己組織化するソフトマター リオトロピック液晶

- 界面活性剤、脂質、両親媒性ブロックコポリマーなどの両親媒性分子が溶液中で形成するミソ構造
  - 溶媒の体積分率により構造転移→容易に構造が変化
  - ブロックコポリマーを超える多様な相の出現→液体が加わる自由度
  - 連続的な組成変化は難しい
  - 液体(水)中の構造→溶媒除去により構造崩壊→材料化が難しい



研究の背景

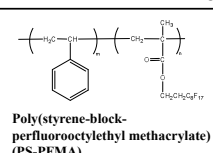
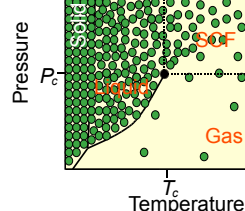
- ◆ 自己組織化するソフトマター
    - ◆ ブロックコポリマー(bcp)
    - ◆ リオトロニック液晶(LLC)
      - ◆ (両親媒性分子+溶媒(水))
  
  - ◆ 超臨界流体
    - ◆ なぜ超臨界流体?
      - ◆ 圧力変化→密度・溶解度変化→膨潤率(濃度)連続的に可変
      - ◆ BCPの組成、LLCの組成変化→新たなサンプルを作成
      - ◆ 圧力ジャンプ=Chemical Potentialジャンプ=組成ジャンプ
    - ◆ ブロックコポリマーテンプレート
      - ◆ 減圧で系から除去→ナノ多孔体の形成
      - ◆ 最終的に機能を持つ形へ変換



4

超臨界二酸化炭素

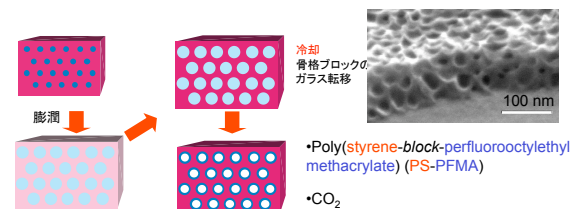
- 高い拡散性(気体)
  - ポリマーとの親和性・溶解性(液体)
  - 圧力により大きな密度変化
    - 瞬間に液体から気体へ変化
    - 容易に加えて容易に除去できる
  - 超臨界二酸化炭素
    - 臨界点:  $T_c = 304.2\text{ K}$  &  $P_c = 7.4\text{ MPa}$
    - フッ素を含むポリマーに高い親和性



5

### 凍結・減圧による多孔化(球状ドメインのナノ多孔化)

- ナノ多孔(発泡)体を世界で初めて創製 [H. Yokoyama, et al. *Adv. Mater.*, 16, 1542-1546 (2004)]
  - 二酸化炭素に対して親和性に差のあるブロックコポリマーを利用(青ドメイン:  $\text{CO}_2$ 親和性和大、赤ドメイン:  $\text{CO}_2$ で僅かに膨潤(ガラス転移温度低下、ゴム状))
  - $\text{CO}_2$ 親和性ドメインへの $\text{CO}_2$ の偏在
  - 球状ドメインが球状の空孔(ナノ多孔体)に変換できた



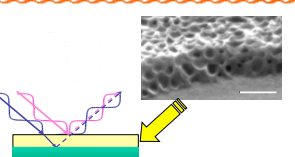
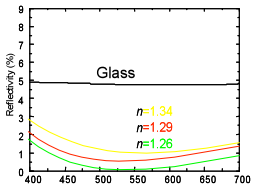
- Poly(styrene-*block*-perfluorooctylethyl methacrylate) (PS-PFMA)

•CO

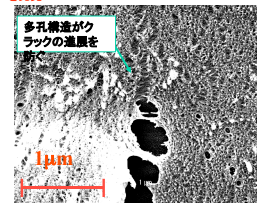
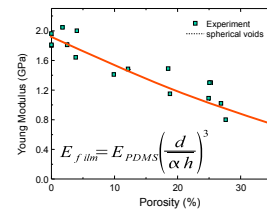
6

## ゼロ反射ナノ多孔コーティング

- 球状ドメインから球状のナノ空間(空孔)創出
- 反射防止膜(ディスプレーの映りこみ防止)への応用
  - $n_r = 1.25$ までの低屈折率化に成功
  - 厚さ条件  $d = (1/4)(\lambda/n_r)$
  - 屈折率条件  $n_r = (n_{air} \cdot n_{sub})^{1/2}$
  - (基板屈折率) $^{1/2}$ を満たし、反射率ほぼゼロを実現
- 高分子フィルムとして世界初のゼロ反射を達成

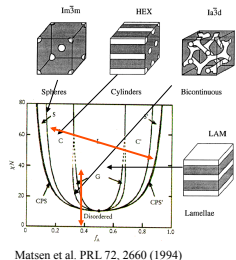
ナノ多孔体薄膜の力学的特性  
ナノ欠損は高分子材料を強くする!

- ナノ多孔薄膜の弹性率測定
  - バックリーリング不安定性を利用して多孔体薄膜(100 nm)の弾性率測定
  - エラストマーア(PDMS)上で薄膜をバックリーリングさせ、周期をレーザー光の回折で測定 ⇒ 弹性率を決定
  - $d$ : バックリーリング周期  $h$ 、フィルム厚さ  $E_{PDMS}$ 、エラストマーシート弾性率  $\alpha$ : ポアソン比から決まる係数より 薄膜の弾性率  $E_{film}$  を決定
  - 球状ボイドモデルのFEM計算と一致
- ナノ多孔薄膜の破壊
  - ナノ多孔薄膜をエラストマーシート上で伸長(SEMで観察)
  - 大変形時には、ナノ空孔がクラック端の進展を阻害
  - 多孔化前の破断歪3%が多孔化により60%まで増加
  - 世界で初めて欠損(孔)によるBrittle to Ductile transitionを発見

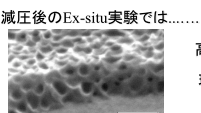


## 超臨界流体による構造転移の可能性?

- リオトロピック液晶的な変化?
- 圧力変化によるOrder-to-order Transition (OOT)はあるのか?
- $P \rightarrow f(\phi) \rightarrow$  Morphology



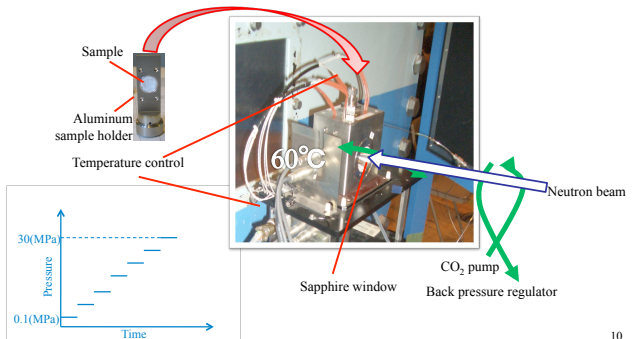
Matsen et al. PRL 72, 2660 (1994)



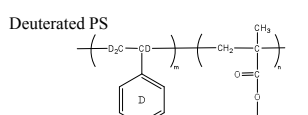
高い圧力で処理  
球からシートへ

## Small angle Neutron Scattering (in-situ)

## ISSP SANS-U

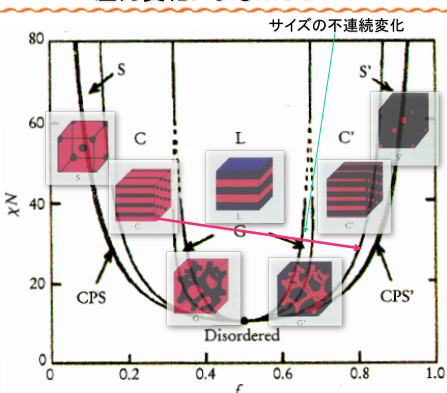
We use a high pressure vessel filled with scCO<sub>2</sub>

## Characterization of PS-PFMA



SAMPLE	Initial structure	$M_n$	$M_w/M_n$	PFMA wt%
S1	Hex PFMA Cylinder	18,600(mid)	1.07	20
09a	Hex PFMA Cylinder	10,000(low)	1.02	23
L	Lamellae	23,000(high)	1.06	28
S2	Lamellae	17,400(mid)	1.05	48
09b	PFMA Sphere	12,200(low)	1.03	13
09c	PFMA Sphere	22,300(high)	1.02	9

## 圧力変化によるMOOT



## SANSを用いた今後の研究

- ◆ 未知の構造の決定
  - ◆ 解像度のUP
  - ◆ Ex-situ法(SAXS、EM)によるサポート
- ◆ 相図の作成
  - ◆ 圧力、温度、ブロック組成
  - ◆ 低分子系、ブロックコポリマー溶媒系との違い?
- ◆ 圧力ジャンプ後の構造変化
  - ◆ 時分割SANS (~分オーダー)
  - ◆ OOTのメカニズム
- ◆ SANSの結果を利用して
  - ◆ 複雑な形状のナノ多孔体の創成へ